



دانشکده علوم

گروه فیزیک

پایان نامه جهت اخذ درجه کارشناسی ارشد در رشته فیزیک گرایش حالت جامد

موضوع:

بررسی خواص اپتیکی لایه های نازک ZnO:Fe و ZnO:Ni با استفاده از ییضی  
نگاری و کاربرد آن در حسگر های گازی

نگارش:

مهدي صادقى

اساتيد راهنما:

دکتر حسن صدقى - دکتر اصغر اسماعيلى

بهمن ماه ۱۳۹۲

حق چاپ و تکثیر مطالب اين پایان نامه برای دانشگاه ارومیه محفوظ است.

بِسْمِ اللَّهِ الرَّحْمَنِ الرَّحِيمِ

## تقدیم به:

پردم به استواری کوه و مادرم به زلایی پشم

ای پدر از تو هرچه می‌کویم باز هم کم می‌آورم

خوشیدی شدی و از روشنایی ات جان گرفتم و در نامیدی هنلام را

کشیدی و لبریزم کردی از شوق

اکنون حاصل دستان خته ات رمز مو قیسم شد

به خودم تبریک می‌کویم که تورا دارم و دنیا با همه بزرگیش مثل تورا

ندارد...

و تو ای مادر، ای شوق زیبایی نفس کشیدن

ای روح مربان حتی ام

تو رنگ شادی یابیم شدی و سخنه هارا با تمام وجود از من دور کردی و

عمری حستی هارا به جان خردی تا اکنون توانستی طعم خوش

پیروزی را به من پختان.

((ویزکیم و مجلس اکلتب و احکمه))

با شکر و پاس از استاد راحنمای داشتند و پرمایه ام

جناب آقای دکتر حسن صدقی و جناب آقای دکتر اصغر اسماعیلی

که از محضر پرفیض تدریشان، بهره نا برده ام.

با امتنان بیکران از مساعدت های بی ثانیه ای جناب آقای دکتر گودرزی ریاست محترم دانشکده علوم و آقای دکتر بصری مدیر کرد فیک.

با تقدیر و درود فراوان خدمت پدر و مادر بسیار عزیز، دلوز و فداکارم که پیوسته

بر عذر نوش جام تعلیم و تربیت، فضیلت و انسانیت آنها بوده ام و همواره چراغ وجودشان  
روشنگر راه من در نجتی ها و مشکلات بوده است.

با پاس بی دین خدمت و سلطان گران یاد ام خانم روما نوری جباری خانی و خانم فیمه علیزاده  
و آقای مجتبی جلیلی پل گنکی، که مرا سینما و شفیقانه یاری داده اند.

و با شکر خالصانه خدمت هم کسانی که نوعی مراد به انجام رساندن این محظی  
یاری نموده اند.

محمدی صادقی

بسمن ماه ۱۳۹۲

فهرست:

صفحه	عنوان
۱	چکیده
۲	فصل اول: بیضی نگاری (Ellipsometry)
۲	۲ مقدمه
۲	۱-۱ نظریه بیضی نگاری
۴	۱-۲ تئوری تجزیه و تحلیل
۶	۲-۱-۲ چه چیزی توسط بیضی نگاری تعیین می شود؟
۷	۳-۱ امواج نوری قطبیده - P - و S -
۱۰	۴-۱ دستگاه های آزمایش بیضی نگاری
۱۲	۵-۱ مدل سازی
۱۲	۵-۱-۲ نمایش فیزیکی
۱۳	۵-۱-۳ مدل های اپتیکی
۱۳	۵-۱-۳-۱ مدل نوسانگر لورنتز
۱۴	۵-۱-۳-۲ مدل نوسانگر لورنتز - درود
۱۴	۵-۱-۳-۳ مدل تاک- لورنتز
۱۵	۵-۱-۳-۴ مدل کوشی
۱۶	۵-۱-۳-۵ مدل لنگ (Leng)

۱۶	۴-۱-۵ الگوریتم مناسب سازی
۱۷	فصل دوم: اکسید روی ( ZnO )
۱۷	مقدمه
۱۹	۱-۲ خواص ZnO
۱۹	۱-۲-۲ خواص ساختاری ZnO
۲۲	۱-۲-۲-۲ پارامتر های شبکه
۲۲	۱-۲-۲-۳ ساختار باند الکترونیکی
۲۲	۱-۲-۳ خواص مکانیکی
۲۳	۱-۲-۴ خواص الکتریکی
۲۴	۱-۲-۵ خصوصیت پرتو افکنی (Luminescent)
۲۴	۱-۲-۶ اثر پیزوالکتریک و سطوح قطبی
۲۷	۱-۲-۷ خواص اپتیکی
۳۰	۱-۲-۷-۲ باند گاف اپتیکی (Optical band gap)
۳۵	۲-۲-۲ آلایش بر روی ZnO (Doping On ZnO)
۳۵	۲-۲-۲ آلایش نوع - n (n-type doping)
۳۵	۲-۲-۳ آلایش نوع - p (p-type doping)
۳۶	۲-۲-۴ آلایش مغناطیسی
۳۶	۳-۲ فرآوری ZnO

۳۷	روش سل - ژل ..... ۲-۳-۲
۳۹	مراحل فرآیند سل ژل ..... ۲-۳-۲-۲
۳۹	۲-۳-۲-۲-۲ تهیه محلول همگن (Homogeneous) ..... (Hemogenous)
۴۰	۲-۳-۲-۲-۳ تشکیل سل (sol) ..... ۲-۳-۲-۲-۳
۴۲	۲-۳-۲-۲-۴ تشکیل ژل ..... ۲-۳-۲-۲-۴
۴۴	۴-۲ پوشش دهی چرخشی (spin coatings) ..... (spin coatings)
۴۶	۵-۲ کاربردهای ZnO ..... ZnO
۴۷	۵-۲-۲ حسگر های بر پایه نانو ساختار های ZnO ..... ZnO
۴۷	۵-۲-۲-۲ حسگر های گازی ..... گازی
۴۸	۵-۲-۲-۳ حسگر های زیستی ..... زیستی
۵۰	فصل سوم: کارهای آزمایشگاهی و نتایج ..... آزمایشگاهی و نتایج
۵۰	۵۰ مقدمه ..... مقدمه
۵۱	۱-۳ روش های عملی و ساخت نمونه ها ..... نمونه ها
۵۱	۱-۲ بحث و نتیجه گیری ..... گیری
۱۰۷	۳-۳ نتیجه گیری ..... گیری
۱۰۷	۴-۳ پیشنهادات ..... پیشنهادات
۱۰۸	۱۰۸ منابع ..... منابع
۱۱۱	۱۱۱ Abstract ..... Abstract

## چکیده:

دهه های متتمادی است که تحقیق و بررسی در خواص و کاربرد های ساختار های اکسید روی ZnO انجام می شود و تحقیق بر روی عوامل موثر بر تغییر خواص آنها برای کاربرد های آن در حسگر ها هنوز هم ادامه دارد. با پیشرفت علم نانو تکنولوژی، رشد نانو ساختار های ZnO با روش های مختلف و بررسی خواص آنها نیز در دستور کار محققان قرار گرفته است. در این پایان نامه، نانو لایه های ZnO جانشانی شده با Fe و Ni با استفاده از روش سل - ژل در ضخامت های مختلف تولید شده و خواص اپتیکی آنها توسط دستگاه بیضی نگاری مورد مطالعه قرار گرفته است تا نحوه تغییرات ضرایب اپتیکی، در اثر جانشانی و تغییر ضخامت لایه ها بدست آید. دلیل انجام این کار این است که هنوز هم اطلاعات کافی در مورد تاثیر آلایش Fe و Ni بر روی ضرایب اپتیکی ZnO فراوری شده با روش سل - ژل و تاثیر ضخامت لایه ها بر روی این ضرایب، انتشار نیافته است.

در فصل اول به بررسی اساس کار بیضی نگاری و نحوه تجزیه و تحلیل داده های حاصل از اندازه گیری بیضی نگاری مرور شده است.

در فصل دوم به بررسی ساختار، خواص ZnO و کاربرد های آن در حسگر ها پرداخته شده است.

نهایتاً در فصل سوم نتایج بدست آمده از بیضی نگاری را تجزیه و تحلیل کرده ایم. این نتایج نشانگر این است که ضرایب اپتیکی نمونه ها بشدت وابسته به نوع مواد جانشان شونده بر روی ZnO و ضخامت لایه ها می باشد. امروزه از تغییر این ضرایب در اثر جانشانی برای تغییر ویژگی ها و حساسیت حسگر های گازی استفاده می شود.

واژگان کلیدی: ZnO، سل - ژل، بیضی نگاری، لایه های نازک، خواص اپتیکی، جانشانی

## فصل اول

### (Ellipsometry) بیضی نگاری

#### مقدمه :

بیضی نگاری (Ellipsometry) یک تکنیک نوری غیر تخریبی توانمند است که مشخصه های نور انعکاسی (انتقالی) از یک نمونه مورد مطالعه را معین می کند. این روش اندازه گیری دارای کاربردهای مختلفی در بررسی لایه های نازک، خواص اپتیکی سطوح و فصل مشترک مواد می باشد. ضریب شکست، ضریب میرابی، ضریب جذب، توابع دی الکترونیک، ضخامت، یکنواختی سطح، مورفولوژی، کیفیت کریستال، ترکیب شیمیایی و هدایت الکترونیکی مواد با این روش قابل بررسی می باشند. ویژگی کلیدی بیضی نگاری این است که تغییر در قطبش نور بر روی نور انعکاس یافته از یک نمونه (یا نور انتقال یافته از یک نمونه) را اندازه گیری می کند. نام "بیضی نگاری" از این حقیقت گرفته می شود که قطبش نور در نور انعکاس یافته اغلب به صورت قطبیده بیضوی می باشد. این تکنیک نوری نزدیک به یک قرن است که شناخته شده و توسعه یافته است و در حوزه های مختلفی از جمله بررسی خواص اپتیکی مواد نیمه رسانا، میکروالکترونیک، پزشکی، داروسازی، بیوتکنولوژی و تحقیقات صنعتی کاربرد کاربرد یافته است.

#### ۱- نظریه بیضی نگاری:

در یک بیضی نگار، نور قطبیده از یک نمونه در برخورد مایل انعکاس می یابد و دستخوش یک تغییر در قطبش می شود. حالت قطبش نور بازتابیده شده بررسی می شود. از تغییر ایجاد شده در قطبش، اطلاعات مربوط به خواص اپتیکی نمونه و ساختار آن بدست می آید. جمع آوری داده ها و بررسی یک آزمایش بازتاب بیضی نگاری طیفی می تواند در ۵ فرآیند تو صیف شود:

- ۱- یک پرتو برخورده (فروده) نور با یک حالت قطبش معین تولید می شود.
- ۲- پرتو از یک نمونه بازتابیده می شود، بنابراین منجر به یک تغییر در قطبش می شود.
- ۳- حالت قطبش نور بازتابیده شده بررسی می شود.

۴- نسبت انعکاس دامنه مختلط ( $\rho$ ) یا زوایای بیضی نگاری ( $\Psi$  و  $\Delta$ ) از اطلاعات روی حالت قطبش پرتو انعکاسی و پارامترهای کالیبراسیون بیضی نگاری محاسبه می شوند.

۵- یک مدل فیزیکی واقع بینانه ساخته می شود و پارامتر های مدل به منظور مناسب سازی زوایای بیضی نگاری شبیه سازی شده، با آنها یکی که به صورت تجربی بدست آمده اند، تنظیم می شوند.

بیضی نگاری برای اندازه گیری دو پارامتر مناسب سازی  $\Psi$  و  $\Delta$ ، با استفاده از فرستادن یک نور کاوشی با یک حالت قطبش معین به داخل یک نمونه و سپس اندازه گیری حالت قطبش پرتو انعکاس یافته استفاده می شود. یک پرتو قطبیده خطی به یک پرتو قطبیده بیضوی تبدیل می شود. سیستم های مختصات  $-p$  (در صفحه برخوردی) و  $-s$  (عمود بر صفحه برخورد) برای توصیف بیضوی بودن قطبش استفاده می شوند.

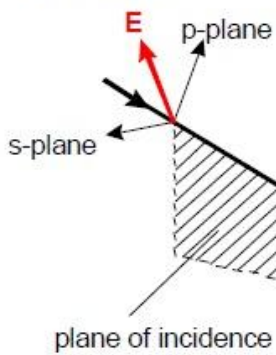
نظریه بیضی نگاری بر پایه معادلات فرسنل (Fresnel reflection equations) یا معادلات انتقال برای نور قطبیده می باشد که بر پایه معادلات ماکسول می باشد [۱].

اندازه گیری بیضی نگاری به طور معمول در اصطلاح سای ( $\Psi$ ) و دلتا ( $\Delta$ ) بیان می شود:

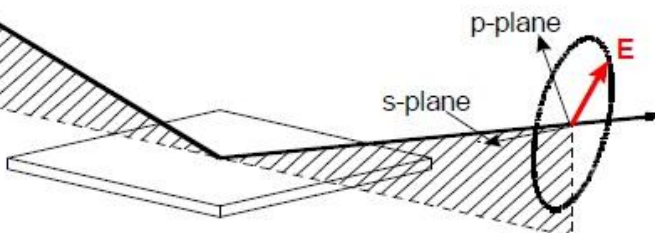
$$\tan(\psi) e^{i\Delta} = \rho = \frac{r_p}{r_s} \quad (1-1)$$

که در آن  $r_p$  و  $r_s$  بترتیب ضرایب انعکاس مختلط فرسنل نمونه برای نور قطبیده  $-p$  و  $-s$  می باشند که در شکل (۱-۱) نشان داده شده اند. این ضرایب شامل اطلاعات بدست آمده مرتبط با خواص اپتیکی مواد و ابعاد فیزیکی می باشند. بیضی نگاری طیفی (SE) این نسبت مختلط را به صورت یک تابعی از طول موج اندازه می گیرد [۲]. بیضی نگاری زاویه متغیر (VASE) اندازه گیری ها را به صورت یک تابع از طول موج و زاویه برخورد انجام می دهد [۳-۵].

### نور قطبیده خطی



### نور قطبیده بیضوی



### سطح انعکاس دهنده نور

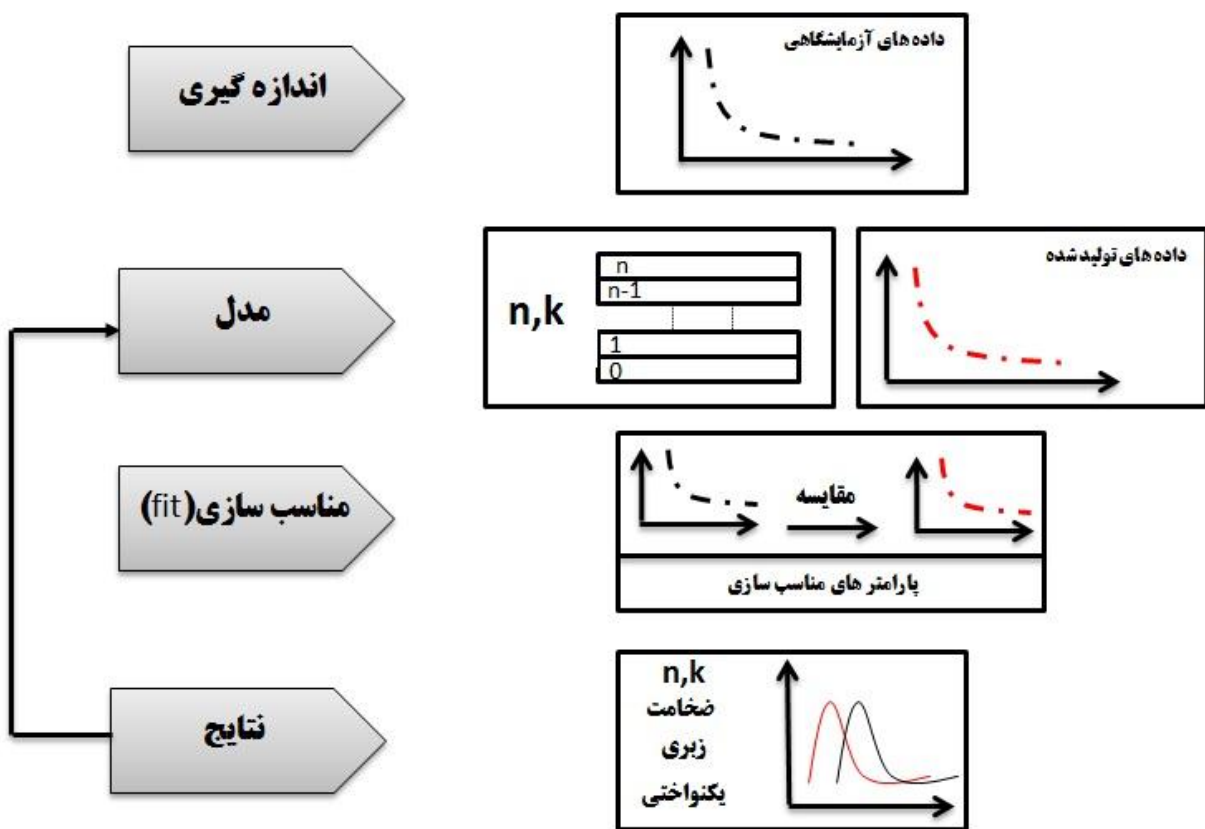
شکل (۱-۱). پیکر بندی اصلی بیضی نگاری انعکاسی

چون بیضی نگار ها نسبت های دو مقدار را اندازه می گیرند، دقیق و تجزیه پذیر هستند، حتی در سطوح نوری بسیار پایین. زیرا بیضی سنج ها یک اختلاف فاز  $\Delta$  (همچنین یک نسبت دامنه) اندازه گیری می کنند و به فیلم های فوق ظرف ( $> 1\text{nm}$ ) حساس هستند. بیضی نگاری طیفی همچنین ثابت های اپتیکی را در طول موج دلخواه بدون استفاده از تحلیل کرامرز- کرونیگ اندازه می گیرد که برای توسعه لیتو گرافی در طول موج های کوتاه مهم است. محدوده طیفی یک بیضی- نگار، یکی از ویژگی های مهم است. برای مثال، اندازه گیری اپتیکی در محدوده طیفی شفاف (جایی که جذب نمی کند) دقیقاً می تواند ضخامت فیلم را تعیین نماید. دیگر خصوصیات ریز ساختاری مانند ترکیب، درجه تبلور، غاظت حامل ها نیز یک محدوده طیفی خاص را می طلبد.

زاویه متغیر برخورد اجزاء اندازه گیری در چند زاویه را می دهد که می تواند در بهینه سازی حساسیت اندازه گیری برای پارامترهای ناشناخته استفاده شود. هر زاویه جدید، طول- مسیر سیر نور در سراسر ماده را تغییر می دهد. این امر می تواند برای چندلایه ها بسیار مفید باشد، بطوریکه طول مسیرهای مختلف اغلب منجر به اطلاعات جدید درباره ساختار می شوند.

## ۱-۲ تئوری تجزیه و تحلیل:

بیضی نگاری ضخامت فیلم یا ثابت های اپتیکی را اندازه نمی گیرد، بلکه تغییر در قطبش را اندازه می گیرد که به صورت  $\Psi$  و  $\Delta$  بیان می شود. برای استخراج اطلاعات مفید درباره ساختار یک ماده، انجام یک تحلیل وابسته به مدل اطلاعات بیضی نگاری ضروری است. شکل (۲-۱) فرآیند را تشریح می کند.



شکل (۲-۱). فلوچارت فرآیند تجزیه و تحلیل

ابتدا داده های بدست آمده، محدوده طیفی مورد نظر و زاویه برخورد را پوشش می دهند. بعداً، یک مدل برای ساختار اپتیکی نمونه ساخته می شود. برای مثال، این مدل باید شامل یک زیرلایه و یک فیلم تنها روی زیرلایه یا زیرلایه بعلاوه فیلم با زبری بالای آن، یا ساختاری با پیچیدگی های بیشتر باشد.

معادلات فرستنل، همراه با مدل فرض شده، برای پیش بینی داده های  $\Psi$  و  $\Delta$  انتظاری برای طول موج های اندازه گیری شده و زوایای برخورد بکار می روند. سومین فرآیندی که در شکل (۲-۱) ترسیم شده،  $\Psi$  و  $\Delta$  اندازه گیری شده واقعی را با مقادیر  $\Psi$  و  $\Delta$  پیش بینی شده توسط مدل فرض شده، مقایسه می کند. این مرحله تجزیه و تحلیل می تواند به حدث های اولیه خوب برای ضخامت، ثابت های اپتیکی ماده و دیگر پارامتر هایی که نمونه مورد مطالعه را توصیف می کنند، وابسته باشد. در برخی موارد، ثابت های اپتیکی از جدول های منتشر شده قابل دسترس هستند.<sup>[۶-۹]</sup> در موارد دیگر، تحلیل بیضی نگاری می تواند برای تعیین ثابت های اپتیکی، ضخامت و دیگر پارامتر ها استفاده شود.<sup>[۱۰]</sup>

هدف تعیین سریع کمترین اختلاف یا " بهترین مناسب سازی " مابین مقادیر  $\Psi$  و  $\Delta$  اندازه گیری شده و محاسبه شده می باشد.(ریشه) میانگین مربع خطای (MSE) این اختلاف را کمی می کند. یک MSE کوچک، بهترین مدل مناسب سازی برای داده ها را نشان می دهد. تابع MSE که معمولا استفاده می شود به صورت زیر بیان می شود:

$$MSE = \sqrt{\frac{1}{2N-M} \sum_{i=1}^N \left[ \left( \frac{\psi_i^{Mod} - \psi_i^{Exp}}{\sigma_{\psi,i}^{Exp}} \right)^2 + \left( \frac{\Delta_i^{Mod} - \Delta_i^{Exp}}{\sigma_{\Delta,i}^{Exp}} \right)^2 \right]} \\ = \sqrt{\frac{1}{2N-M} \chi^2} \quad (2-1)$$

همانگونه که از شکل برمی آید، تحلیل بیضی نگاری از مناسب سازی با استفاده از مدل اپتیکی بدست می آید. با این وجود، یک مدل اپتیکی استفاده شده در تحلیل بیضی نگاری صرفاً یک ساختار تقریبی از نمونه مورد مطالعه را نمایش می دهد. و نتایج بدست آمده ضرورتاً درست نمی باشند، حتی زمانی که مناسب سازی به اندازه کافی خوب باشد.

بر این اساس، زمانی که ثابت های اپتیکی یا ساختار فیلم یا نمونه به خوبی معلوم نباشد، نتایج بیضی نگاری باید بر اساس روش های اندازه گیری دیگر توجیه شوند. این بزرگترین ضعف تکنیک بیضی نگاری است. بار اولی که یک روش تحلیلی ساخته می شود، این امر ممکن می شود که در یک استفاده از بیضی نگاری طیفی، مشخصات با دقت بالا بدست آید [11]. اگر مدل به اندازه کافی ساختار درست را نشان ندهد، پس مابین تئوری و آزمایش تطابق خوبی به طور معمول پیدا نمی شود، و مدل نیاز به باز بینی دارد.

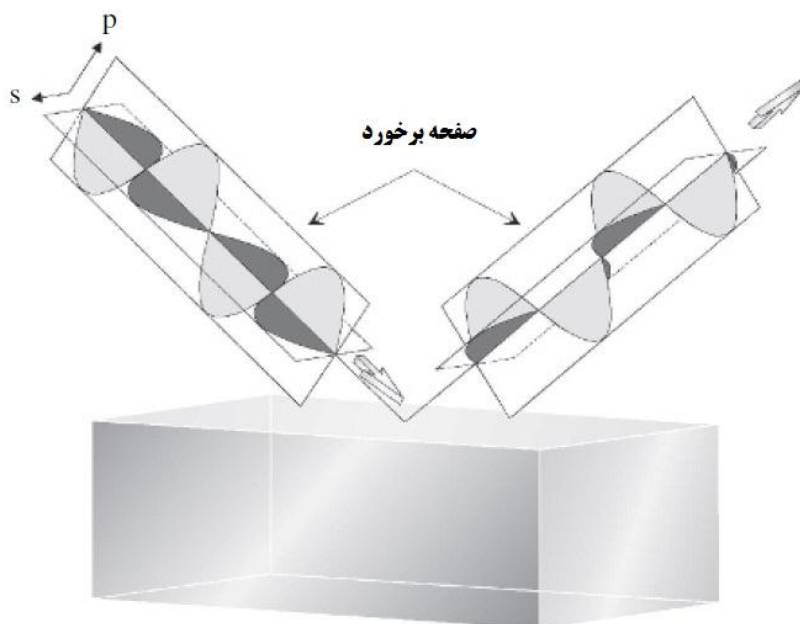
## ۲-۱-۲ چه چیزی توسط بیضی نگاری تعیین می شود؟

بیضی نگاری عموما برای اندازه گیری ضخامت فیلم نازک استفاده می شود. برای اندازه گیری های ضخامت مهم است که بیضی نگاری یک محدوده طیفی را پوشش دهد که فیلم نیمه شفاف باشد. اگر پرتو نور قبل از بازگشت به سطح، از سطح پایین فیلم در تمام طول موج های اندازه گیری شده جذب شود، ضخامت نمی تواند تعیین شود. این مزیت محدوده طیفی وسیع با هر بیضی نگار طیفی می باشد.

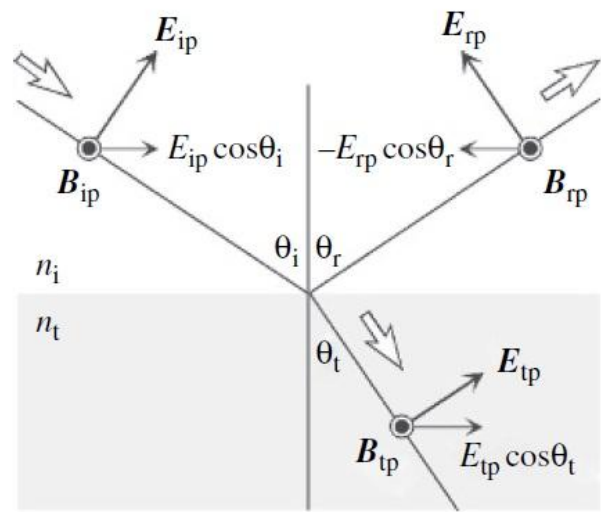
بیشتر خواص ماده یا فیلم بعلاوه ای ضخامت می تواند از اندازه گیری های بیضی نگاری بدست آید؛ همچنین ثابت های اپتیکی، زبری سطح، درجه تبلور، و ترکیب آلیاژنیز می توانند بدست آیند. بعلاوه، یکنواختی هوایی بیش از یک نمونه، عمق مشخصات خواص، ناهمسانگردی اپتیکی، دما، و هر پارامتر فیزیکی که خواص اپتیکی ماده را تحت تاثیر قرار دهد، می توانند بررسی شود [11].

### ۱-۳ امواج نوری قطبیده - P و S :

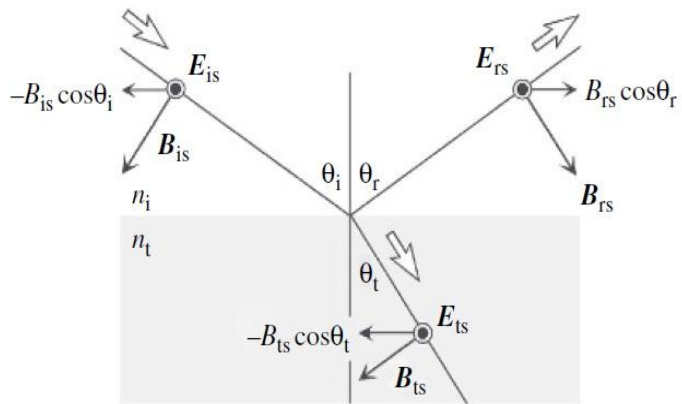
شکل (۱-۳) نور انعکاس یافته از سطح یک نمونه را نشان می دهد. زمانی که نور توسط یک نمونه در یک برخور مایل انعکاس یا انتقال می یابد، نور به امواج نوری قطبیده P و S وابسته به جهت نوسان میدان الکتریکی خودش طبقه بندی می شود و هر موج نوری رفتاری کاملاً متفاوتی را نشان می دهد. در قطبیش P، میدان های الکتریکی امواج نوری برخوردی و انعکاسی در داخل صفحه یکسان نوسان می کنند. این صفحه خاص، صفحه برخورد نامیده می شود. شکل (۱-۴)، انعکاس و انتقال امواج قطبیده S و P را نشان می دهد. در این شکل، انعکاس و انتقال نور توسط بردار های میدان الکتریکی E و القای مغناطیسی B نشان داده شده اند.



شکل (۱-۳) . انعکاس امواج قطبیده S و P



الف: قطبش - P



ب: قطبش - S

شکل (۱-۴). میدان الکتریکی E و القای مغناطیسی B برای (الف) قطبش - P (ب) قطبش - S . در این شکل ها، B در (الف) و E در (ب) عمود بر صفحه کاغذ هستند.

شرایط مرزی برای امواج الکترو مغناطیس مستلزم می سازد که اجزاء B و E موازی با یک سطح، در سطح پیوسته باشند. به عبارت دیگر، اجزاء موازی در قسمت برخورد باید برابر با آن قسمت انتقال باشند. در مورد نور قطیده P، شرایط مرزی برای E و B توسط معادلات زیر داده می شوند:

$$E_{ip} \cos \theta_i - E_{rp} \cos \theta_r = E_{tp} \cos \theta_t \quad (۳-۱)$$

$$B_{ip} + B_{rp} = B_{tp} \quad (۴-۱)$$

که زیرنوشت های  $rp$  و  $tp$  بترتیب بیانگر برخورد، انعکاس، و انتقال نور قطبیده  $P$  می باشند. در یک محیط با یک ضریب شکست  $n$ :

$$\begin{cases} E = sB \left( s = \frac{c}{n} \right) \\ E = cB \end{cases} \quad (5-1)$$

اگر ما از رابطه  $E = sB$  در فرمول (۴-۱) استفاده کنیم، فرمول به صورت زیر در می آید:

$$n_i (E_{ip} + E_{tp}) = n_t E_{tp} \quad (6-1)$$

با حذف  $E_{tp}$  از معادلات (۳-۱) و (۴-۱) و استفاده از  $\theta_i = \theta_r$ ، می توانیم ضریب انعکاس مختلط برای نور قطبیده  $P$  را بدست آوریم که به صورت زیر تعریف می شود:

$$r_p \equiv \frac{E_{tp}}{E_{ip}} = \frac{n_t \cos \theta_i - n_i \cos \theta_t}{n_t \cos \theta_i + n_i \cos \theta_t} \quad (7-1)$$

اگر  $E_{tp}$  را از معادلات (۳-۱) و (۶-۱) حذف کنیم، می توانیم ضریب دامنه انتقال را برای نور قطبیده  $P$  بدست آوریم:

$$t_p \equiv \frac{E_{tp}}{E_{ip}} = \frac{2n_i \cos \theta_i}{n_t \cos \theta_i + n_i \cos \theta_t} \quad (8-1)$$

از طرف دیگر، شرایط مرزی برای نور قطبیده  $S$  به صورت زیر داده می شود:

$$E_{is} + E_{rs} = E_{ts} \quad (9-1)$$

$$-B_{is} \cos \theta_i + B_{rs} \cos \theta_r = -B_{ts} \cos \theta_t \quad (10-1)$$

که زیرنوشت های  $is$  و  $rs$  بترتیب نشانگر برخورد، انعکاس و انتقال نور قطبیده  $S$  می باشند. به طور مشابه، ضریب دامنه انعکاس (انتقال) برای نور قطبیده  $S$  به صورت زیر بیان می شود:

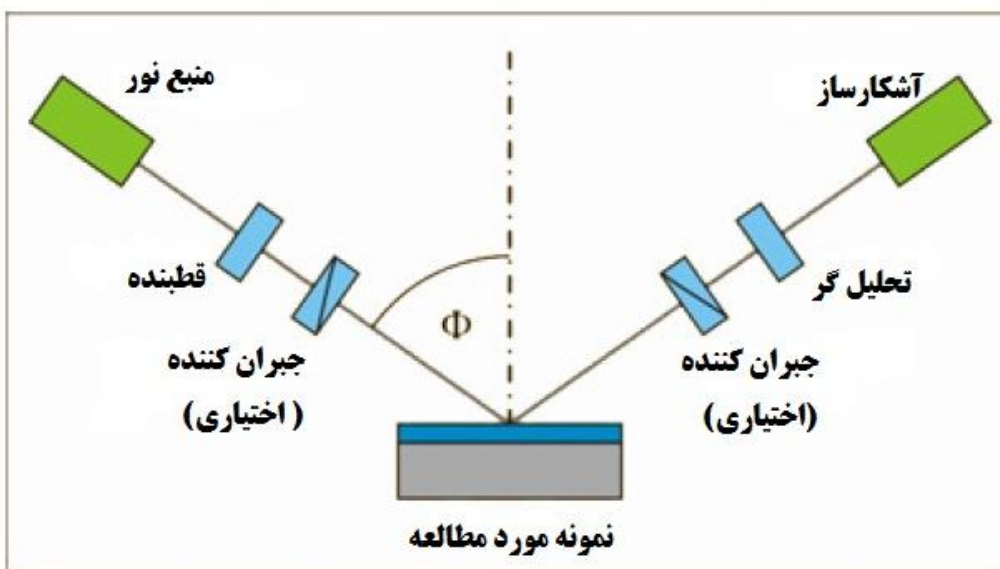
$$r_s \equiv \frac{E_{rs}}{E_{is}} = \frac{n_i \cos \theta_i - n_t \cos \theta_t}{n_i \cos \theta_i + n_t \cos \theta_t} \quad (11-1)$$

$$t_s \equiv \frac{E_{ts}}{E_{is}} = \frac{2n_i \cos \theta_i}{n_i \cos \theta_i + n_t \cos \theta_t} \quad (12-1)$$

روابط بالا برای  $t_s$ ،  $r_s$ ،  $r_p$  و  $t_p$  به عنوان روابط فرسنل (Fresnel Equations) شناخته می شوند [۱۱].

## ۱-۴ دستگاه‌های آزمایش بیضی نگاری:

بیضی نگاری یک تکنولوژی همه کاره است که بیش از یک قرن است که مورد استفاده می‌باشد. چندین ساختار مختلف بیضی-نگاری توسعه یافته است. یک نمونه از یک ترکیب بندی عمومی بیضی نگاری در شکل (۵-۱) نشان داده شده است.



شکل (۵-۱). ترکیب بندی ساختار عمومی یک دستگاه بیضی نگار

یک پرتو به خوبی هم راستا شده از یک منبع نور مناسب برای ایجاد نوری با قطبش کنترل شده‌ی معین از یک قطبند عبور می-کند. قطبش نور بعد از برهmekنش با سیستم اپتیکی مورد مطالعه اصلاح می‌شود. حالت قطبش نور در خروجی نمونه توسط قطبند دوم (تحلیل گر) تحلیل می‌شود، که برای انتخاب قطبش در تابش الکترومغناطیس عمل می‌کند و به آشکارساز برای تحلیل شدن به داخل آن هدایت می‌کند. یک القاگر فاز (به عنوان مثال، یک صفحه یک چهارم موج و یا یک جبران گننده) ممکن است قبل یا بعد از برهmekنش با نمونه در ساختار دستگاه مشاهده شود.

برای سه ربع اول قرن گذشته، بیضی نگاری در یک تک طول موج (نور نوعاً توسط لیزر  $\text{HeNe}$  در  $\lambda = 6328\text{ Å}$ ) تولید می‌شد، و با یک روش تهی (Null) انجام می‌شد. در یک بیضی نگار تهی، پرتو نور از یک قطبند خطی و احتمالاً از یک جبران گننده قبل از برخورد با نمونه تحت مطالعه، عبور می‌کند. مفهوم ساده است، انعکاس از نمونه باعث بیضوی شدن در قطبش نور می‌شود. جبران گننده می‌تواند تا زمانی که بیضوی شدن حذف شود، دوران کند، همانگونه که توسط قطبند نهایی معین می‌شود. زوایای سمتی قطبند، صفحه رباع-موج، و تحلیل گر سپس برای محاسبه اثر نمونه بر روی پرتو نور کاوشگر استفاده می‌شود.

در عمل یک پیکر بندی متفاوت استفاده می‌شود؛ صفحه رباع-موج  $Q$ ، که قبل از نمونه قرار گرفته، ثابت نگه داشته می‌شود. قطبند  $P$  و تحلیل گر  $A$  مکرراً دوران می‌کنند تا یک سیگنال صفر (تهی) در آشکارساز بدست آید. بیضی نگاری تهی، می‌تواند

داده های آزمایشی بسیار دقیقی را بددهد. بعلت طبیعت عملگر تهی، برای آزمایش ها عموماً زمان زیادی لازم است. در حقیقت امکان دسترسی با آزمایش های زمان واقعی (Real time measurements) کاهش می یابد.

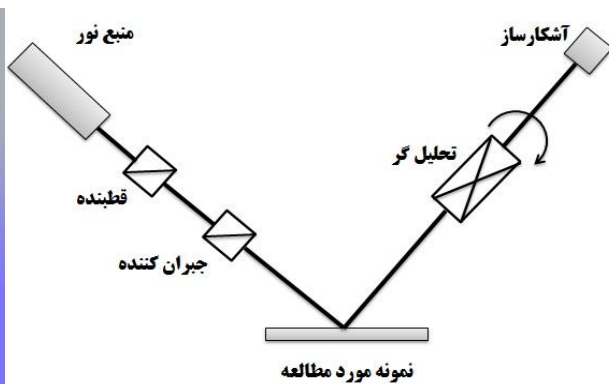
بیضی نگاری سپس به سوی الحقاق به عناصر چرخنده مداوم تکامل یافت. در حالی که برای دستگاه های تهی، قطبینده ها پی در-پی می چرخند تا اینکه تهی بدست آید. این نوع دستگاه ها عموماً سریع تر از عناصر چرخان دستگاه تهی است.

از لحاظ تاریخی، چینش های دو عنصر چرخان به کار می رود؛ قطبینده چرخان (RPE) و تحلیل گر چرخان (RAE). در هر دو مورد، نتایج پیام های آشکار ساز، در یک شدت متغیر سینوسی است که می تواند برای تعیین پارامتر های بیضی نگاری  $\Psi$  و  $\Delta$  تحلیل فوریه شوند [۱۲].

در ترکیب RPE (تحلیل گر ثابت) حالت قطبش پرتو برخوردي در آشکارساز تغییری در طی آزمایش نمی یابد. بنابراین این ترکیب بندی مزیت بی تاثیر ماندن توسط حساسیت قطبش آشکارساز و ضرر حساس بودن به هر قطبش باقی مانده پرتو نور برخوردي در قطبینده چرخان را دارد. ترکیب بندی RAE (قطبینده ثابت) مزیت بی تاثیر ماندن از حالت قطبش پرتو برخوردي بر روی قطبینده ثابت اول را دارد، اما ممکن است از خطاهایی به علت حساسیت قطبش آشکارساز رنج ببرد. یکی دیگر از اشکالات این دو نوع دستگاه این است که اندازه گرفته می شود در حقیقت بیشتر  $\cos\Delta$  است تا  $\Delta$  [۱۳]، و بنابراین واضح نیست که  $\Delta$  مابین  $0^\circ$  و  $180^\circ$  باشد یا مابین  $180^\circ$  و  $360^\circ$ .

با استفاده از یک عنصر جبران کننده چرخان، و ثابت نگه داشتن قطبینده و تحلیل گر، می توان بر بیشتر ضررها ترکیب بندی RAE و RPE فائق آمد. این ترکیب بندی جبران کننده چرخان (RCE) دیگر مشکلی از لحاظ قطبش باقی مانده در پرتو نور ورودی و از حساسیت قطبش آشکارساز، با ممکن شدن استفاده از فیبرهای نوری، آینه ها و لنز ها و غیره برای مراحل ورودی/ خروجی، نخواهد داشت. RCE همچنین اجازه اندازه گیری دقیق پارامتر های  $\Psi$  و  $\Delta$  بیضی نگاری را در محدوده آزمایش را دارد [۱۳].

دستگاه بیضی نگاری طیفی استفاده شده در آزمایشها این پایان نامه دستگاه بیضی نگاری (Sentech SE 800 DUV) نام دارد که شکل کلی و ساختار شماتیکی آن در شکل (۶-۱) نشان داده شده است. نمونه های مورد مطالعه توسط این دستگاه اندازه گیری و با استفاده از نرم افزار (SPECTRARAY II) برآش شده و مورد مطالعه قرار گرفتند و خواص اپتیکی آنها مورد تحلیل و بررسی قرار گرفت.



شکل (۶-۱). دستگاه بیضی نگاری DUV

## ۱-۵ مدل سازی:

مراحل عمومی برای مدل سازی داده های  $\Psi$  و  $\Delta$  بدست آمده، ابتدا اندازه گیری داده های آزمایشگاهی، سپس توسعه مدل فیزیکی و مناسب سازی داده های آزمایشگاهی با مدل می باشند. نتیجه مناسب سازی بهبود در مدل خواهد بود، و تکرار های بعدی می تواند برای ادامه افزایش دقت مناسب سازی انجام شود. ساخت یک مدل فیزیکی کاملاً دقیق که سیستم فیزیکی مدل سازی شده را توصیف کند، معادل دستیابی به نتایج دقیق و مربوط است.

## ۲-۱-۵ نمایش فیزیکی:

چند راه برای نمایش یک لایه فیزیکی نمونه وجود دارد. ما به یک لایه به عنوان یک منطقه از ماده مراجعه خواهیم کرد که متمایز از ماده مجاور است و به عنوان یک منطقه مجزای خاص از نمونه فیزیکی مدل سازی می شود. ابتدا یک بستر (زیر لایه) تعریف خواهد شد (مگر اینکه اندازه گیری در حالت انتقال انجام شود)، و به صورت یک محیط نیمه- نامحدود در نظر گرفته می شود. این نشان می دهد که هیچ سطحی زیر بستر وجود ندارد که انعکاسی ایجاد کند.

لایه ها می توانند وجود داشته باشند به گونه ای که به صورت مناطقی در فضایی از ضخامت خاص  $t$  و با ثابت های اپتیکی که به صورت تابعی از انرژی تغییر می کنند، تعریف خواهند شد. علاوه بر این، مناطق بین لایه ها می توانند وجود داشته باشند که به سادگی از یک نوع یا دیگر نوع مواد نیستند، بلکه بیشتر به صورت یک درصدی از یک نوع و یک درصدی از نوع دیگر می باشند. این نوع لایه متفاوت از یک عنصر است، در آن ماده A و B به طور یکنواخت در سراسر ضخامت پخش نشده اند. این

نوع لایه توسط یک تقریب محیط مؤثر یا EMA نشان داده می شود. به طور کلی، لایه های EMA توسط یک ضخامت خاص، یک عامل شکل، و نسبت ماده A به B تعریف خواهند شد.

### ۱-۳-۵ مدل های اپتیکی:

برای اندازه گیری ضخامت و ثابت های اپتیکی نمونه، نیاز به ساخت یک مدل اپتیکی مناسب است که بتوان با استفاده از مناسب سازی نتایج اندازه گیری شده با آن، به نتایج مطلوب و مورد نیاز رسید. تئوری چند مدل اپتیکی در ذیل بحث می شود:

### ۱-۳-۶ مدل نوسانگر لورنتز:

شاید بهترین مکان برای شروع بررسی پارامترهای پتانسیل، شروع با مدل نوسانگر لورنتز (LO) است. برای هدف بدست آوردن اطلاعات پراکنده ای از مواد نیمه رسانا یا جامد های بلورین، مدل LO مورد بسیار ساده جرم و برهمنکش نوع فنری می باشد. با توجه به این که اتم ها در جامد های بلورین یا چند بلوری با هم پیوند می خورند، و نیروهای آنها در مقابل منحنی جابجایی در دامنه های ارتعاش کوچک، خطی هستند، این یک بحث مناسب است. این کاراکتر خطی یا هوکی (Hookean)، حال وابسته به باند است و یک فرکانس تشدید با یک دامنه خاص و یک گستره خاص از انرژی با نزدیک شدن به این فرکانس و بعضی ثابت-های فنری خواهد داشت [۱۴].

بسیاری از مواد نیمه رسانا با این مدل به خاطر ساختار شبکه منظم و شاخصه های یونی خود، مناسب سازی می شوند [۱۵]. مدل LO مناسب است زیرا در این مورد، محدوده فرکانس های زاویه ای مطالعه شده بزرگتر از فوتون های اپتیکی عرضی و کوچکتر از فوتون های اپتیکی طولی می باشد. رابطه (۱۳-۱) بستگی تابع دی الکتریک به هر نوسانگر هماهنگ را توصیف می کند (هرچند ممکن است آنها بیشتر از یکی باشند).

$$\varepsilon_2(E) = 2nk = \frac{A_L E_0 CE}{(E^2 - E_0^2)^2 + C^2 E^2} \quad (13-1)$$

در رابطه فوق  $E_0$  قله انرژی انتقالی و  $C$  عبارت انبساط و  $A_L$  پارامتر مناسب سازی است. رابطه نشان داده شده برای یک نوسانگر است، و اگر نوسانگر های بیشتری برای توصیف انتقال های اپتیکی در ماده نیاز شد، زیرنویس هایی برای مجذعاً کردن پارامترها از هم اضافه می شود. این نوسانگر ها از نظر فیزیکی می توانند به صورت شدت های مختلفی که به علت ترکیب هایی مختلف جرم-فنر یا طول باند در جامد می باشند، در نظر گرفته شوند.